

## О ЧИСЛЕННОЙ ОПТИМИЗАЦИИ ДВУМЕРНОГО ПРЕОБРАЗОВАНИЯ АРГУМЕНТОВ В ФУНКЦИОНАЛЬНО-ДИФФЕРЕНЦИАЛЬНОМ УРАВНЕНИИ ДИФфуЗИИ\*

### 1. Введение

Функционально-дифференциальное уравнение (ФДУ) с преобразованием аргументов широко используется в современной нелинейной оптике для моделирования нелинейных оптических систем с нелокальной обратной связью [1-2]. Теоретическим вопросам, связанным с разрешимостью начально-краевых задач для ФДУ диффузии и аналитическим описанием ряда автоволновых и стационарных типов решений, посвящены работы [3-8]. В [8-11] разрабатывались методы оптимального управления ФДУ диффузии, в которых в качестве управляющего воздействия выступало преобразование одномерного пространственного аргумента. Вместе с тем большой интерес представляет исследование возможностей оптимизации двумерного преобразования аргументов, позволяющей наиболее полно использовать преимущества двумерного светового сигнала. В частности, весьма актуально управление локализованными структурами, находящими применение в задачах хранения и обработки оптической информации.

В настоящей работе рассматриваются особенности оптимизации двумерного преобразования  $g(x) = (g_1(x), g_2(x)) : \bar{\Omega} \rightarrow R^2$  пространственных аргументов искомой функции в ФДУ диффузии

$$\partial_t u + u - D\Delta u = F_g(u) \quad (1)$$

совместно с периодическими граничными и начальным условиями

$$u|_{x_j=0} = u|_{x_j=2\pi}, \quad u_{x_j}|_{x_j=0} = u_{x_j}|_{x_j=2\pi}, \quad j = 1, 2, \quad (2)$$

$$u|_{t=0} = u_0(x). \quad (3)$$

Здесь  $u = u(x, t)$ ,  $x = (x_1, x_2) \in \bar{\Omega} = [0, 2\pi] \times [0, 2\pi]$ ,  $\Delta = \partial_{x_1}^2 + \partial_{x_2}^2$ ,  $D > 0$ . Правая часть (1) задается суперпозицией  $u(x, t)$  с ограниченной вместе со второй производной функцией

$$F(s) \in C^2(\bar{R}) \quad (4)$$

---

\* Работа выполнена при поддержке РФФИ (проект № 01-01-00639) и AFOSR (грант CRDF#RP0-1391-MO-03).

и преобразованием аргументов  $g(x)$  в виде функционала (см. также [6,8])

$$\langle F_g(u), \varphi \rangle = \int_{g^{-1}(\bar{\Omega})} F(u(x,t)) \varphi(g(x)) dx, \quad (5)$$

определенного на пространстве непрерывных пробных функций  $\varphi \in C(\bar{\Omega})$ , где  $g^{-1}(\bar{\Omega})$  - полный прообраз множества  $\bar{\Omega}$ . Здесь и ниже угловые скобки  $\langle \cdot, \cdot \rangle$  в зависимости от контекста означают либо действие функционала на пробной функции, либо скалярное произведение

$$\langle f, h \rangle = \int_{\Omega} \sum_{j=1,2} f_j(x) h_j(x) dx, \quad \text{где} \quad f(x) = (f_1(x), f_2(x)),$$

$$h(x) = (h_1(x), h_2(x)).$$

Целью оптимизации является приближение состояния  $u = u(x, t; g)$  системы (1)-(5) к заданному распределению  $u_1(x, t)$  за счет соответствующего выбора преобразования  $g(x)$ . Качество оптимизации будем оценивать с помощью интегрального функционала

$$J(g) = \int_{Q_T} \rho(x, t) |u(x, t; g) - u_1(x, t)|^2 dx dt, \quad Q_T = \bar{\Omega} \times [0, T], \quad (6)$$

где непрерывная в  $Q_T$  весовая функция  $\rho(x, t)$ ,  $0 \leq \rho \leq 1$ , регулирует степень приближения к цели в различных точках пространства и времени. Ставится задача минимизации функционала  $J(g)$  на допустимом множестве  $G$  измеримых по Лебегу преобразований, удовлетворяющих поточечным ограничениям:

$$J(g) \rightarrow \inf_G, \\ G = \{g \in L_2(\Omega) : g(\bar{\Omega}) \subseteq \bar{\Omega}\}. \quad (7)$$

Заметим, что при  $g \in G$  справедливо  $g^{-1}(\bar{\Omega}) = \bar{\Omega}$ , так что в (5) интеграл берется по всему множеству  $\bar{\Omega}$ .

## 2. Формула приращения функционала

Для численного построения минимизирующей последовательности преобразований в задаче (1)-(7) воспользуемся вариационным подходом, основанным на выделении главной линейной части приращения функционала  $J(g)$ . Обозначим через  $\psi = \psi(x, t)$  решение так называемой сопряженной задачи

$$-\partial_t \psi + \psi - D\Delta \psi = 2\rho(u - u_1) + F'(u)\psi(g(x), t), \quad (8)$$

$$\psi|_{x_j=0} = \psi|_{x_j=2\pi}, \quad \psi_{x_j}|_{x_j=0} = \psi_{x_j}|_{x_j=2\pi}, \quad j = 1, 2, \quad (9)$$

$$\psi|_{t=T} = 0. \quad (10)$$

Заметим, что в отличие от (1) в правой части (8) искомая функция стоит в суперпозиции с преобразованием  $\mathbf{g}(\mathbf{x})$  в классическом смысле. Кроме того, преобразование  $\mathbf{g}(\mathbf{x})$  неявно входит в (8) через решение  $u = u(\mathbf{x}, t; \mathbf{g})$  задачи (1)-(5).

Дадим приращение  $\mathbf{h}$  преобразованию  $\mathbf{g} \in G$  так, чтобы  $\mathbf{g} + \mathbf{h} \in G$  и обозначим через  $v(\mathbf{x}, t) = u(\mathbf{x}, t; \mathbf{g} + \mathbf{h}) - u(\mathbf{x}, t; \mathbf{g})$  соответствующее приращение решения задачи (1)-(5). В силу (1)-(5) функция  $v$  является решением начально-краевой задачи

$$\partial_t v + v - D\Delta v = F_{\mathbf{g}+\mathbf{h}}(u+v) - F_{\mathbf{g}}(u), \quad (11)$$

$$v|_{x_j=0} = v|_{x_j=2\pi}, \quad v_{x_j}|_{x_j=0} = v_{x_j}|_{x_j=2\pi}, \quad j = 1, 2, \quad (12)$$

$$v|_{t=0} = 0. \quad (13)$$

Учитывая, что в определении правой части (11) с помощью функционала (5) справедливо равенство  $\mathbf{g}^{-1}(\bar{\Omega}) = \bar{\Omega}$ , и беря в качестве пробной функции решение  $\psi(\mathbf{x}, t)$  задачи (8)-(10), приходим к интегральному аналогу (11)-(13)

$$\begin{aligned} & \int_{Q_T} (-v\partial_t \psi + v\psi + D\nabla v \nabla \psi) dx dt = \\ & = \int_{Q_T} (F(u+v)\psi(\mathbf{g} + \mathbf{h}, t) - F(u)\psi(\mathbf{g}, t)) dx dt, \end{aligned} \quad (14)$$

где  $\nabla$  — обозначение градиента по переменным  $x_1, x_2$ . Соответствующее интегральное соотношение для сопряженной функции  $\psi$  получается после умножения (8) на  $v(\mathbf{x}, t)$  и интегрирования по частям с учетом (9):

$$\int_{Q_T} (-\partial_t \psi v + \psi v + D\nabla \psi \nabla v - 2\rho(u - u_1)v - F'(u)\psi(\mathbf{g}(\mathbf{x}), t)v) dx dt = 0. \quad (15)$$

В силу (6) приращение функционала  $\delta J = J(\mathbf{g} + \mathbf{h}) - J(\mathbf{g})$  имеет вид

$$\delta J(\mathbf{g}) = \int_{Q_T} 2\rho(u - u_1)v dx dt + \int_{Q_T} \rho |v|^2 dx dt. \quad (16)$$

Преобразуя (16) с помощью (15) и (14), имеем

$$\delta J(\mathbf{g}) = \int_{Q_T} (F(u+v)\psi(\mathbf{g}(\mathbf{x}) + \mathbf{h}(\mathbf{x}), t) - F(u)\psi(\mathbf{g}(\mathbf{x}), t) - F'(u)\psi(\mathbf{g}(\mathbf{x}), t)v) dx dt + \\ + \int_{Q_T} \rho |v|^2 dx dt = \int_{Q_T} F(u(\mathbf{x}, t)) \nabla \psi(\mathbf{g}(\mathbf{x}), t) \mathbf{h}(\mathbf{x}) dx dt + R,$$

$$\text{где } R = R_1 + R_2, R_1 = \int_{Q_T} \rho |v|^2 dx dt,$$

$$R_2 = \int_{Q_T} (F(u+v)\psi(\mathbf{g} + \mathbf{h}, t) - F(u)\psi(\mathbf{g}, t) - F'(u)\psi(\mathbf{g}, t)v - F(u)\nabla\psi(\mathbf{g}, t)\mathbf{h}) dx dt$$

Учитывая, что остаток  $R$  имеет относительно приращения  $\mathbf{h}$  порядок выше первого, приходим к выражению для линейной части приращения  $\delta J(\mathbf{g})$  в виде скалярного произведения  $\langle \mathbf{J}'(\mathbf{g}), \mathbf{h} \rangle$  приращения  $\mathbf{h}$  с элементом

$$\mathbf{J}'(\mathbf{g}) = \int_0^T F(u(\mathbf{x}, t; \mathbf{g})) \nabla \psi(\mathbf{g}(\mathbf{x}), t) dt, \quad (17)$$

имеющим смысл градиента функционала  $J(\mathbf{g})$  на преобразовании  $\mathbf{g} \in G$ .

Отметим, что строгое обоснование формулы градиента функционала, выходящее за рамки данной работы, подразумевает вывод оценки остаточного члена, требующий детального изучения гладкости обобщённых решений прямой и сопряженной задач. В пространственно-одномерном случае соответствующие рассуждения проведены в [8] на языке пространств Соболева целых порядков гладкости. В двумерном случае обобщённое решение принадлежит пространству типа Соболева дробных порядков гладкости [6], а линейная часть приращения функционала выражается в терминах квазидифференциала [10].

### 3. Проекционно-разностная аппроксимация прямой и сопряженной задач

Выбор способа конечномерной аппроксимации задач (1)-(5) и (8)-(10) диктуется спецификой задания соответствующих функциональных членов в уравнениях (1) и (8), которая состоит в следующем.

1. Действия преобразования  $\mathbf{g}(\mathbf{x})$  задается в специальном обобщенном виде (5), требующем соответствующей сеточной интерпретации.
2. Значение преобразованного аргумента  $\mathbf{g}(\mathbf{x})$  в (8) может не совпадать с узлами сетки, и, следовательно, необходима интерполяция.

3. Решение  $u(\mathbf{x}, t)$  исходной задачи даже в случае гладкого преобразования (например,  $\mathbf{g}(\mathbf{x}) = \mathbf{x}_0 \in \Omega$  – фокусировка в точку) может не обладать высокой гладкостью.

В пространственно-одномерном случае в [11-12] предложен проекционный по  $\mathbf{x}$  способ аппроксимации ФДУ вида (1), позволяющий естественным образом преодолеть указанные трудности. Ниже мы приводим его двумерную модификацию и применение к оптимизационной задаче (7).

Введем на  $\bar{\Omega}$  сетку

$$\omega_h = \omega_{h_1} \times \omega_{h_2}, \quad \omega_{h_j} = \{x_{j,n_j} = n_j h_j, \quad n_j = 0, 1, \dots, N_j\}$$

с шагами  $h_j = 2\pi/N_j, \quad N_j > 0$  – четные числа,  $j = 1, 2; \omega_\tau = \{t_m = m\tau, \quad m = 0, 1, \dots, M\}$  – сетка на  $[0, T]$  с шагом

$\tau = T/M$ . Введем пространство  $S_1 = \text{Lin}\{\varphi_{i,j}(\mathbf{x})\}$  кусочно-линейных функций  $\varphi_{i,j}(\mathbf{x}) = \varphi_i(x_1) \cdot \varphi_j(x_2)$ , построенных на основе сплайнов первого порядка  $\varphi_n(x_j) = \varphi_0(x_j - nh_j), \quad \varphi_N(x_j) = \varphi_0(x_j) + \varphi_0(x_j - 2\pi),$

$\varphi_0(x_j) = \max\{0, 1 - |x_j| h_j^{-1}\}, \quad n = 1, \dots, N_j - 1, \quad j = 1, 2$ . Отметим, что в определении пространства  $S_1$  учитывается условие периодичности по  $x_1, x_2$  в ослабленном виде, без следов производной на границе, поскольку последние, вообще говоря, не существуют даже для решений из энергетического класса.

Обозначив  $S = \underbrace{S_1 \times S_1 \times S_1 \times \dots \times S_1}_{M+1 \text{ раз}}$ , сопоставим исходной задаче (1)-

$$(5) \text{ при } \mathbf{g} \in G \text{ интегральное тождество для функции } w = (w^0, \dots, w^M) \in S \\ \langle \tau^{-1}(w^m - w^{m-1}), \varphi \rangle + \langle w^m, \varphi \rangle + D \langle \nabla w^m, \nabla \varphi \rangle = \langle F(w^m), \varphi(g) \rangle, \quad (18) \\ m = 1, \dots, M, \quad \forall \varphi \in S_1$$

где  $w^0$  – некоторая аппроксимация  $u_0$ , например,  $w^0 = \sum_{ij} w_{ij}^0 \varphi_{i,j}(\mathbf{x}),$   
 $w_{i,j}^0 = (h_1 h_2)^{-1} \langle w^0, \varphi_{i,j} \rangle.$

Отметим, что уравнения (18) представляют собой проекционный по переменной  $\mathbf{x}$  и разностный по переменной  $t$  аналог задачи (1)-(5), т.е. являются проекционно-разностной схемой (ПРС) аппроксимации (1)-(5). ПРС (18) можно также записать в операторном виде

$$((1 + \tau)B + \tau D\Lambda)w^m = \tau \Phi(w^m) + Bw^{m-1}, \quad m = 1, \dots, M, \quad (19)$$

где  $\Lambda = B_2 \Lambda_1 + B_1 \Lambda_2, \quad B = B_1 B_2, \quad B_l = E - h_l^2 \Lambda_l / 6, \quad E$  – единичный

оператор,  $(\Lambda_l f)_i = -\frac{1}{h_l^2}(f_{i+1} - 2f_i + f_{i-1})$ ,  $f_{N_l+1} = f_1$ ,  $f_{N_l} = f_0$ ,  
 $i = 0, \dots, N_l - 1$ ,  $l = 1, 2$ .

ПРС (19) является нелинейной относительно текущего расчетного слоя, для её численной реализации используются итерации:  $s$ -е приближение  $w^{(s)}$  для  $w^m$  находится с помощью алгоритма быстрого преобразования Фурье из линейного уравнения

$$\begin{aligned} ((1 + \tau)B + \tau DA)w^{(s)} &= \tau \Phi(w^{(s-1)}) + Bw^{m-1}, \\ s &= 1, 2, \dots, w^{(0)} \equiv w^{m-1}. \end{aligned} \quad (20)$$

Содержащие преобразование аргументов элементы матрицы  $\Phi(w^m)$  вычисляются по формуле

$$\Phi_{k,l}(f) = \frac{1}{h_1 h_2} \int_{\Omega} F(f(x)) \varphi_{k,l}(g(x)) dx, \quad f \in S_1. \quad (21)$$

Отметим, что даже в случае непрерывного преобразования  $g(x)$  простейшая формула прямоугольников для аппроксимации интеграла (21) приводит к сумме вида

$$\Phi_{k,l} = \sum_{m,n=1}^{N_1, N_2} F(f(x_1^m, x_2^n)) \varphi_{k,l}(g(x_1^m, x_2^n)), \quad (22)$$

прямое вычисление которой весьма трудоемко. Существенная экономия действий достигается за счет финитности носителя  $\varphi_{k,l}$ . Действительно, в силу соотношения

$$\begin{aligned} \text{supp } \varphi_{k,l} &\equiv (x_1^{k-1}, x_1^{k+1}) \times (x_2^{l-1}, x_2^{l+1}) = \Omega_{k,l}, \\ k &= 1, \dots, N_1 - 1, \quad l = 1, \dots, N_2 - 1, \end{aligned}$$

суммирование в (22) достаточно проводить только по тем индексам  $(m, n)$ , для которых

$$g(x_1^m, x_2^n) \in \Omega_{k,l}. \quad (23)$$

Кроме того, поскольку преобразование  $g(x)$  одно и тоже в пределах одного шага оптимизации, то целесообразно вычислять остающийся неизменным коэффициент  $\varphi_{k,l}(g(x_1^m, x_2^n))$ , одновременно производя перебор вида (23). Соответствующую информацию о прообразах  $g^{-1}(\varphi_{k,l}(\bar{\Omega}))$  удобно хранить в массиве указателей на список структур типа `fiGArray` (см. рис. 1). В описании этой структуры

```

struct fiGArray
{
    double value;
    struct fiGArray* next;
    int m, n;
},

```

поля содержат следующие данные:

value – значение сплайна на преобразованных координатах, т.е.

$\varphi_{k,l}(g(x_1^m, x_2^n))$ ;

next – указатель на следующий элемент списка;

m, n – номер узла до преобразования.

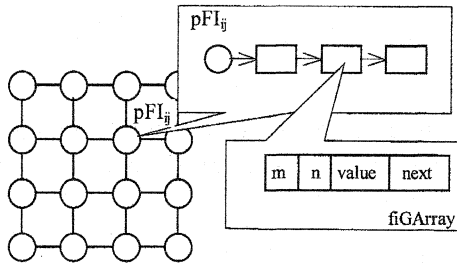


Рис. 1. Каждый элемент массива pFI является указателем на список из структур fiGArray.

Сопряженная задача (8)-(10) аппроксимируется линейной ПРС относительно  $\xi \in S$ :

$$\begin{aligned}
 -\langle \tau^{-1}(\xi^m - \xi^{m-1}), \varphi \rangle + \langle \xi^{m-1}, \varphi \rangle + D \langle \nabla \xi^{m-1}, \nabla \varphi \rangle = \\
 = 2 \langle \rho(t_m)(w^m - u_1(t_m)), \varphi \rangle + \langle F^l(w^{m-1})\xi^m(g), \varphi \rangle,
 \end{aligned}$$

$$\forall \varphi \in S_1, \quad \xi^M = 0. \quad (24)$$

ПРС (24) эквивалентна операторному уравнению

$$((1 + \tau)B + \tau D\Lambda) \xi^{m-1} = f^m, \quad (25)$$

которое в отличие от (20) решается по убывающим индексам  $m=M, M-1, \dots, 1$ . Здесь

$$f^m = B(2\tau\rho(t_m)(w^m - u_1^m) + \xi^m) + \Psi^m,$$

где  $\Psi^m$  – аналогичная (22) аппроксимация слагаемого  $\langle F'(w^{m-1})\xi^m(\mathbf{g}), \varphi \rangle$  при  $\varphi = \varphi_{i,j}(\mathbf{x})$ . Для ее реализации существенно используется информация о взаимном соответствии прообраза точек и носителей базисных сплайнов, построенном на этапе решения прямой задачи и хранящимся в структуре `fiGArray`.

#### 4. Использование метода проекции градиента для оптимизации преобразования аргументов

Зная главную линейную часть приращения функционала  $J(\mathbf{g})$ , заданную формулой (17), сформируем итерационную последовательность  $\mathbf{g}^k \in S_1$ , осуществляющую движение по антиградиенту и использующую аппроксимации (18)-(21) и (24)-(25)

$$\mathbf{g}^{k+1} = P_{\bar{\Omega}}(\mathbf{g}^k - \alpha_k \mathbf{J}'_k). \quad (26)$$

Здесь  $\mathbf{J}'_k = \int_0^T F(w(\mathbf{x}, t; \mathbf{g}^k)) \nabla \xi(\mathbf{g}^k(\mathbf{x}), t) dt$ ,  $w(\mathbf{x}, t; \mathbf{g}^k)$  – решение

ПРС (18) для текущего преобразования  $\mathbf{g} = \mathbf{g}^k$ ,  $\xi$  – решение сопряженной ПРС (24) с  $w = w(\mathbf{x}, t; \mathbf{g}^k)$ ,  $P_{\bar{\Omega}}$  – оператор проектирования на  $\bar{\Omega}$ , осуществляющий периодическую нарезку значений, выходящих за пределы  $\bar{\Omega}$ . Последовательность  $\{\alpha_k\}$  шагов в (26) определялась методом дробления, исходя из условия строгого убывания функционала на каждом шаге  $J(\mathbf{g}^{k+1}) < J(\mathbf{g}^k)$ . Другие способы выбора  $\{\alpha_k\}$  можно найти, например, в [13].

Рассмотрим результаты численной оптимизации на двух примерах. В первом примере решалась задача компенсации фазовых искажений, вносимых в пространственно-неоднородный по аргументу  $x_1$  входной фазовый профиль

$$u_0(x_1, x_2) = 2 + 0.3 \left( \exp(-15(x_1 - \pi)^2) + \exp(-15(x_1 - \pi/3)^2) + \exp(-15(x_1 - 5\pi/3)^2) \right)$$

контуром обратной связи оптической системы (интерферометра) с нелинейностью вида

$$F(u) = K(1 + \gamma \cos u), \quad (27)$$



где  $K$  – коэффициент, пропорциональный интенсивности входного поля,  $\gamma$  – видность интерференционной картины ([2]). В проведенных расчетах параметры нелинейности (27) и уравнения (1) брались в виде  $K = 3.6$ ,  $\gamma = 1$ ,  $D = 0.07$ . Требовалось найти преобразование аргументов  $\mathbf{g}(\mathbf{x})$ , обеспечивающее минимальное отклонение фазового профиля  $u = u(\mathbf{x}, t)$  от его начального (при  $t = 0$ ) распределения  $u_0(\mathbf{x})$  на всем отрезке времени  $t \in [0, T]$  для значения  $T = 3$ . Данная постановка формулируется в виде задачи минимизации функционала (6) со стационарным целевым профилем  $u_1(\mathbf{x}, t) \equiv u_0(\mathbf{x})$ . Весовая функция в (6) имела вид

$$\rho(\mathbf{x}, t) = \exp\left(1 - T^2(T^2 - (t - T)^2)^{-1}\right), \quad (28)$$

учитывающий более весомый вклад в значение функционала финального участка траектории по сравнению с ее начальной частью. В качестве начального приближения управления в градиентном методе (26) бралось тождественное преобразование  $\mathbf{g}^0(\mathbf{x}) = \mathbf{x}$ . При этом решение к финальному моменту времени становилось пространственно-однородным со значением функционала  $J(\mathbf{g}^0) = 0.79$ .

В результате двух шагов градиентного метода (26) значение функционала уменьшилось до величины  $J(\mathbf{g}^2) = 0.30$ , т.е. более чем в 2.5 раза. На рис. 2а и 2б представлены профили целевой функции и полученного оптимизированного решения, их сечения приведены на рис. 3а. Видно, что в процессе оптимизации удалось в значительной мере отразить основные особенности целевой функции. При этом была замечена определенная симметрия, присущая задаче оптимизации: если начальное приближение преобразования не отличается от тождественного по переменной  $x_2$ , и целевой профиль не зависит от этой переменной, то и решение сопряженной задачи (а значит и градиент функционала) также не зависят от  $x_2$ . Поэтому градиентная процедура (26) генерирует последовательность преобразований аргументов, у которых первая компонента  $g_1(\mathbf{x})$  отвечает за пространственную неоднородность целевого профиля, а вторая компонента не изменяется,  $g_2(\mathbf{x}) \equiv x_2$ . Профили отклонений от тождественного преобразования  $\mathbf{g}^0(\mathbf{x}) = \mathbf{x}$  соответствующих компонент  $g_1(\mathbf{x})$  и  $g_2(\mathbf{x})$  второй итерации преобразования аргументов  $\mathbf{g}^2(\mathbf{x}) = (g_1(\mathbf{x}), g_2(\mathbf{x}))$  приведены на рис. 2в и 2г, сечение  $g_1(\mathbf{x})$  изображено на рис. 3б.

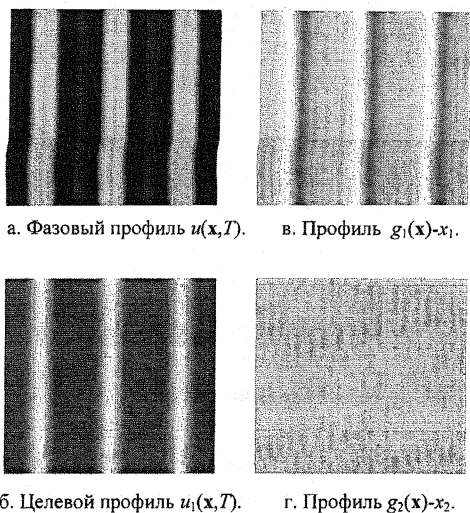


Рис. 2. Результаты оптимизации в задаче компенсации фазовых искажений.

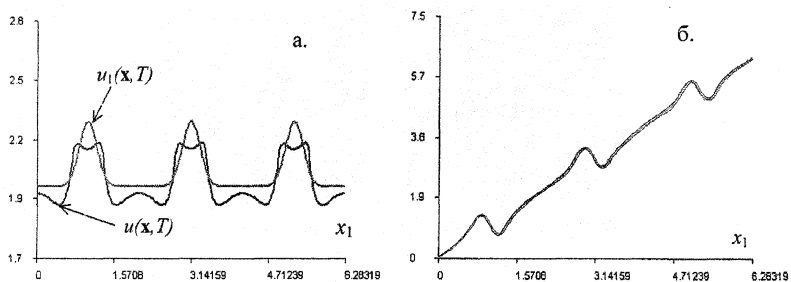


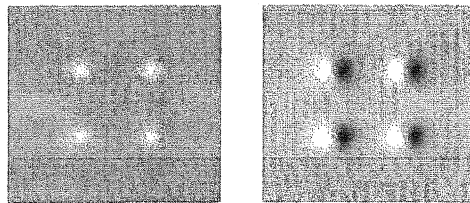
Рис. 3. Сечения  $x_2 = const$ : а –  $u(x, T)$  и  $u_1(x, T)$  из рис. 2а, 2б, б – компонента  $g_1(x)$  оптимизированного преобразования.

Во втором примере целью управления являлся перевод системы (1)-(5), (27) из первоначального пространственно-однородного фазового профиля  $u(x, t = 0) = u_0(x) = 2$  с постоянной для каждой точки  $x$  скоростью в финальное при  $T = 2$  состояние, задаваемое фазовым профилем с

четырьмя локализованными пиками (см. рис. 4). В соответствующем функционале (6) весовая функция имеет вид (28), целевая состояние задается формулой

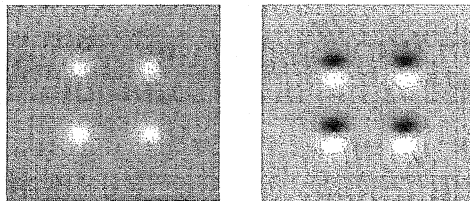
$$u_1(x_1, x_2) = 2 + t \cdot \left( \exp\left(-9(x_1 - 2\pi/3)^2 - 9(x_2 - 2\pi/3)^2\right) + \exp\left(-9(x_1 - 4\pi/3)^2 - 9(x_2 - 2\pi/3)^2\right) \right) + \\ + t \cdot \left( \exp\left(-9(x_1 - 2\pi/3)^2 - 9(x_2 - 4\pi/3)^2\right) + \exp\left(-9(x_1 - 4\pi/3)^2 - 9(x_2 - 4\pi/3)^2\right) \right).$$

В случае тождественного преобразования  $g^0(\mathbf{x}) = \mathbf{x}$  решение задачи (1)-(3) оставалось пространственно-однородным на всем отрезке времени  $t \in [0, T]$ , что привело к значению функционала  $J(g^0) = 1.63$  (значения параметров задачи  $K = 4.3$ ,  $\gamma = 1$ ,  $D = 0.07$ ). В результате пяти шагов градиентного метода (26) функционал уменьшился до значения  $J(g^5) = 0.37$ , т.е. более, чем в 4 раза. Оптимизированный профиль решения  $u(\mathbf{x}, T)$  находится в хорошем соответствии с целевым профилем  $u_1(\mathbf{x}, T)$  (см. рис. 4а, 4б). Отклонения полученных компонент  $g_1(\mathbf{x})$  и  $g_2(\mathbf{x})$  преобразования  $g^5(\mathbf{x}) = (g_1(\mathbf{x}), g_2(\mathbf{x}))$  приведены на рис. 4в, 4г. Видно, что сечения профиля  $g_1(\mathbf{x})$  по  $x_1$  и  $g_2(\mathbf{x})$  по  $x_2$  в пиках локализации имеют вид, аналогичный изображенному на рис. 3.



а. Фазовый профиль  $u(\mathbf{x}, T)$ .

в. Профиль  $g_1(\mathbf{x})-x_1$ .



а. Целевой профиль  $u_1(\mathbf{x}, T)$ .

в. Профиль  $g_2(\mathbf{x})-x_2$ .

Рис. 4. Результаты оптимизации для двумерной локализованной целевой функции.

На основе проведенных расчетов можно сделать следующие выводы об особенностях формирования локализованных решений с помощью управления преобразованием пространственных аргументов:

1. Локализованные структуры могут быть получены с помощью преобразований аргументов, не являющихся обратимыми в окрестности каждого пика локализации. Аналогичный вывод в пространственно-одномерном случае был ранее сделан в [9].
2. Если начальное и целевое состояния системы не зависят от одной из переменных, то и соответствующая компонента оптимизированного преобразования может быть взята тождественной по этой переменной.
3. Одновременная локализация по двум переменным приводит к оптимизированному преобразованию, у которого каждая компонента в значительной мере отвечает за локализацию именно по «своей» переменной.

## Литература

1. Воронцов М.А., Корябин А.В., Шмальгаузен В.И. Управляемые оптические системы. М.: Наука, 1989.
2. Akhmanov S.A., Vorontsov M.A., Ivanov V.Yu., Larichev A.V., Zheleznykh N.I. Controlling transverse-wave interactions in nonlinear optics: generation and interaction of spatiotemporal structures // J. Opt. Soc. Amer. B. 1992. Vol. 9, № 1, pp.78-90.
3. Разгулин А.В. Об автоколебаниях в нелинейной параболической задаче с преобразованным аргументом // Журнал вычислительной математики и математической физики. 1993. Т. 33, № 1. С. 69-80.
4. Razgulin A.V. Rotational multi-petal waves in optical systems with 2-D feedback // Chaos in Optics. Proceedings SPIE. 1993. Vol. 2039, pp. 342-352.
5. Skubachevskii A.L. Bifurcation of periodic solutions for nonlinear parabolic functional differential equations arising in optoelectronics // Nonlinear analysis: theory, methods and applications. 1998. Vol. 32, № 2, pp. 261-278.

6. Разгулин А.В. Об одном классе функционально-дифференциальных параболических уравнений нелинейной оптики // Дифференциальные уравнения. 2000. Т. 36, № 3. С. 400-407.
7. Чушкин В.А., Разгулин А.В. Стационарные структуры в уравнении диффузии с отражением пространственного аргумента // Вестник московского ун-та. Сер. 15, Вычислит. матем. и киберн. 2003, № 2.
8. Потапов М.М. Уравнения нелинейной оптики с преобразованиями пространственной независимой переменной в роли управляющих воздействий // Вестник московского ун-та. Сер. 15, Вычислит. матем. и киберн. 1997, № 3. С. 13-16.
9. Razgulin A.V. Localized and periodic patterns in nonlinear optical system with controlled transforms of spatial arguments // Nonlinear Optical Phenomena in Information Technologies. Proceedings SPIE. 1998. Vol. 3733, pp. 211-217.
10. Razgulin A.V. Control of 2D argument transforms in parabolic functional-differential equation // International Conference Dedicated to the 90<sup>th</sup> Anniversary of L.S. Pontryagin. Optimal Control and Appendices. Moscow. 1998, pp. 165-167.
11. Разгулин А.В. Аппроксимация задачи управления преобразованием аргументов в нелинейном параболическом уравнении // Журнал вычислительной математики и математической физики. 2001. Т. 41, № 12. С. 1844-1856.
12. Разгулин А.В., Роганович И.Б. О сходимости проекционно-разностной схемы для нелинейного параболического уравнения с преобразованием пространственного аргумента // Прикладная математика и информатика. Труды факультета ВМиК МГУ. 2000, № 6. С. 84-94.
13. Васильев Ф.П. Методы решения экстремальных задач. М.: Наука, 2001.